

---

## **3. Simulazioni numeriche di fratture 3 - D**

In questo capitolo viene affrontato il problema della propagazione dinamica di una frattura 3 - D. Questo caso rappresenta una importante implementazione degli studi eseguiti mediante metodi 2 - D presentati nel capitolo precedente, poiché permette di simulare una maggiore varietà di processi fisici e rappresenta una più fedele approssimazione dei processi reali che avvengono durante un terremoto.

### **3.1. Soluzione del problema dinamico 3 - D**

Come accadeva nei problemi 2 - D ( §§ 2.3 e 2.4 ) la faglia è anche in questo caso supposta piana e giace in  $x_3 = 0$ . Ora, tuttavia, invece di propagarsi lungo

una linea, la frattura evolve in maniera più complessa in un piano, in quanto il fronte di rottura è una curva chiusa ( cfr. fig. 2.1b ) la quale divide il piano  $x_1x_2$  in due parti: una regione rotta  $S(t)$  ed una esterna  $S^*(t)$  ancora integra. Per questa ragione i modi di propagazione ( mode II e mode III ) sono accoppiati, cioè si ha un problema di tipo misto, noto come *mixed – mode*.

La strategia numerica adottata nel codice di calcolo è quella di Quin & Das ( 1989 ), che verrà di seguito illustrata, la quale è stata implementata da Boatwright et al. ( 1995 ) per quanto concerne l' introduzione della legge costitutiva ( § 3.2 ). Il metodo di Quin & Das è di tipo *boundary integral* ibrido che consente un notevole risparmio di tempo macchina ( di circa un fattore 4 ) rispetto al metodo originale di Das ( 1980 ), ma tuttavia non è più veloce rispetto a quello di Das & Kostrov ( 1987 ), il quale limita il dominio di convoluzione spaziale alla zona della faglia che ha rotto, che è l' unica in cui lo spostamento è non nullo.

Fino all' istante immediatamente precedente la nucleazione, tutto il piano  $x_3 = 0$  è soggetto agli sforzi di taglio  $s_{013}$  e  $s_{012}$  ed allo sforzo normale  $s_{033}$ . A  $t = 0$  la rottura inizia a propagarsi dall' origine verso l' esterno e, ad un generico istante, indicati con  $j$  l' angolo che lo scorrimento forma con l' asse  $x_1$  e con  $\{ s_{ij}^P \}$  le componenti della perturbazione al tensore degli sforzi dovute al processo di scorrimento dinamico, nella parte rotta (  $S$  ) di  $x_3 = 0$  si hanno:

$$\begin{aligned} s_{033} m_D \cos j &= s_{013} - s_{13}^P \\ s_{033} m_D \sin j &= s_{023} - s_{23}^P \\ s_{33}^P &= 0 \end{aligned} \tag{3.1.1a}$$

ove  $m_D$  è, come sempre, il coefficiente di attrito dinamico; nella zona ancora integra (  $S^*$  ) di  $x_3 = 0$  risulta:

$$\begin{aligned} s_{13}^P, s_{23}^P &\text{ ignoti} \\ s_{33}^P &= 0 \\ u_1 = u_2 &= 0 \end{aligned} \tag{3.1.1b}$$

L' equazione che è necessario risolvere si ottiene da (1.2.13):

$$u_a(x_1, x_2, t) = \int_0^t dt \int_{S(t)} G_{ab}(x_1 - x_1, x_2 - x_2, t-t) s_{b3}^P(x_1, x_2, t) dx_1 dx_2 ; \quad (3.1.2)$$

$a, b = 1, 2$

che, come si vede, è analoga a (2.3.1), ma ora viene mantenuto il tensore degli sforzi invece che introdurre la trazione. Il tensore  $G_{ab}$  è ancora la soluzione al problema di Lamb, le cui componenti sono calcolate seguendo Richards ( 1979 ). Dividendo il dominio di integrazione in due parti, da 0 a  $t_1$  e da  $t_1$  a  $t$ , è possibile riscrivere (3.1.2) come:

$$u_a(x_1, x_2, t) = I_0(x_1, x_2, t_1) + I_1(x_1, x_2, t_1, t) \quad (3.1.3)$$

ove:

$$I_0(x_1, x_2, t_1) \equiv \int_0^{t_1} dt \int_{S(t)} G_{ab} s_{b3}^P dx_1 dx_2$$

$$I_1(x_1, x_2, t, t_1) \equiv \int_{t_1}^t dt \int_{S(t)} G_{ab} s_{b3}^P dx_1 dx_2$$

Introducendo le trasformate di Fourier di  $G_{ab}$  e di  $s_{b3}^P$

$$\widehat{G}_{ab}(k_1, k_2, t) = \int_{-\infty}^{+\infty} \int_{-\infty}^{+\infty} G_{ab}(x_1, x_2, t) e^{i(k_1 x_1 + k_2 x_2)} dx_1 dx_2$$

$$\widehat{s}_{b3}^P(k_1, k_2, t) = \int_{-\infty}^{+\infty} \int_{-\infty}^{+\infty} s_{b3}^P(x_1, x_2, t) e^{i(k_1 x_1 + k_2 x_2)} dx_1 dx_2$$

si può riscrivere  $I_0(x_1, x_2, t_1)$  come:

$$I_0(x_1, x_2, t_1) = \frac{1}{4p^2} \int_0^{t_1} dt \int_{-\infty}^{+\infty} \int_{-\infty}^{+\infty} \widehat{G}_{ab}(k_1, k_2, t-t) \widehat{s}_{b3}^P(k_1, k_2, t) e^{i(k_1 x_1 + k_2 x_2)} dk_1 dk_2$$

e pertanto (3.1.3) diviene:

$$u_a(x_1, x_2, t) = \frac{1}{4p^2} \int_0^{t_1} dt \int_{-\infty}^{+\infty} \int_{-\infty}^{+\infty} \widehat{G}_{ab}(k_1, k_2, t-t) \widehat{s}_{b3}{}^p(k_1, k_2, t) e^{i(k_1 x_1 + k_2 x_2)} dk_1 dk_2 +$$

$$+ \int_{t_1}^t dt \int_{S(t)} G_{ab}(x_1 - x_1, x_2 - x_2, t-t) s_{b3}{}^p(x_1, x_2, t) dx_1 dx_2$$

Per discretizzare tale espressione Quin & Das ( 1989 ) procedono come Das ( 1980 ), determinando il valore medio delle componenti del tensore di Green in ogni elemento del volume spazio - tempo. In un arbitrario punto  $(x_{1_i}, x_{2_j}, t_n)$  di tale spazio, denotato per semplicità di notazione con  $(i, j, n)$ , si ha:

$$u_a(i, j, n) = (Dx)^2 Dt \sum_{l,m,q} G_{ab}(i-l, j-m, n-q) s_{b3}{}^p(l, m, q) +$$

$$+ \sum_{l,m,q} \widehat{G}_{ab}(k_{1_l}, k_{2_m}, t_q) \widehat{s}_{b3}{}^p(k_{1_l}, k_{2_m}, t_q) e^{-2pi \left( \frac{k_{1_l}}{N x_{1_i}} + \frac{k_{2_m}}{N x_{2_j}} \right)}$$

in cui le trasformate sono ottenute numericamente usando le FFT ( Fast Fourier Transform ) e l' ampiezza della trasformazione cambia al variare dell' estensione del crack. Si noti infine che la discretizzazione in  $x_1$  ed in  $x_2$  è la stessa.

### 3.2. Introduzione della legge di Ruina

Come osservato nel paragrafo 2.3, la discretizzazione dell' equazione integrale (3.1.2), sotto l' ipotesi  $Dx \geq v_p Dt$ , permette di scrivere ( cfr. (2.3.8) ):

$$u = -CT^p + L$$

Tale relazione, ricavata nel caso di frattura in - plane, vale anche nel caso anti - plane ( Andrews & Das, 1984; Andrews, 1994 ) e conseguentemente si hanno:

$$u_1 = -C_1 T_1^P + L_1 \quad (3.2.1a)$$

$$u_2 = -C_2 T_2^P + L_2 \quad (3.2.1b)$$

ove i pedici 1 e 2 denotano cracks di tipo in - plane ed anti - plane rispettivamente. Nel codice numerico è posto  $Dx = 1$  ( adimensionale ) e  $Dt = 1/2$  ( anch' esso adimensionale ). La scelta di  $Dx$  e di  $Dt$  assicura che la condizione  $Dx \geq v_p Dt$  sia soddisfatta e che pertanto i punti vicini vengano isolati e siano quindi valide (3.2.1).

Si vede da (3.1.1a) che la trazione totale  $\mathbf{T}$ , invece di essere  $\mathbf{T} = \mathbf{t}_0 + \mathbf{T}^P$  come nel paragrafo 2.3, è ora espressa come:

$$\mathbf{T} = \mathbf{t}_0 - \mathbf{T}^P \quad (3.2.2)$$

Conseguentemente, ripetendo le osservazioni compiute nel paragrafo 2.3, si dimostra che (3.2.1) divengono nel nostro caso:

$$u_i = C_i T_i^P - L_i \quad (3.2.3)$$

in cui le quantità  $C_i$  sono ancora

$$C_i \equiv -F_i(0,0)$$

con  $F_i(0,0)$  intendendo le funzioni di Green discretizzate per il caso mode II (  $i = 1$  ) e mode III (  $i = 2$  ), calcolate in  $x_1 = 0$  ( ovvero in  $x_2 = 0$  ) ed in  $t = 0$ . Calcolando esplicitamente  $F_1(0,0)$  ed  $F_2(0,0)$ , le cui espressioni complete sono riportate nei lavori di Andrews & Das ( 1984 ) e di Andrews ( 1994 ), si dimostra che  $C_1 = C_2 \equiv C$ .

Le quantità  $\{ L_i \}_{i=1,2}$  sono espresse tramite le relazioni:

$$L_i(j, m_i) \equiv \sum_k \sum_{n>0} F_i(k, n) T_i^P(j-k, m_i-n)$$

che rappresentano il carico dinamico delle due componenti 1 e 2 dovuto ai punti che sono interni al fronte di rottura. Mentre nel capitolo secondo veniva considerato un problema in cui i due modi ( II e III ) erano disaccoppiati, nella situazione ora esaminata essi sono accoppiati. In questo caso infatti il carico dinamico è dato dalla norma del vettore (  $L_1, L_2$  ):

$$L = \sqrt{L_1^2 + L_2^2}$$

Ricavando ora  $T_i^p$  da (3.2.2) e sostituendo in (3.2.3) si ottiene:

$$T = t_0 - \frac{L}{C} - \frac{u}{C}$$

Definendo infine lo stiffness del sistema come <sup>8</sup>

$$k \stackrel{\text{df}}{=} \frac{1}{C} = \frac{m}{v_S Dt} = \frac{v_S r}{Dt} \quad (3.2.4)$$

si ha infine:

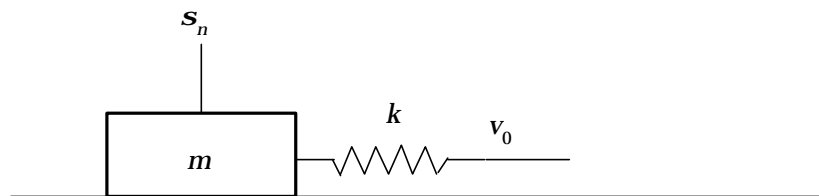
$$T = t_0 - k L - k u \quad (3.2.5)$$

L' equazione (3.2.5) è analoga a quella di uno spring slider in approssimazione quasi – statica ( cioè quando  $(d/dt)^2 d \cong 0$  ):  $t = s_0 - k d$ , come descritto in box 3.1. Occorre tuttavia sottolineare che tale analogia è puramente formale, poiché ora l' equivalente del carico  $s_0$ , cioè  $t_0 - k L$ , dipende da tutti i time steps precedenti, in quanto il load  $L$  è dato dalla convoluzione delle funzioni di Green discretizzate  $F_i(k, n)$  con tutti i valori assunti da  $T_i^p$  nel passato, come detto in precedenza.

---

<sup>8</sup> Si noti che, dalla definizione, si ottiene che lo stiffness dipende dalla discretizzazione del sistema e poiché  $Dt$  dipende linearmente da  $Dx$  ( $Dx = 2 Dt$ ), risulta:  $k = k(Dx)$ . Questa espressione per  $k$ , ottenuta da Andrews ( 1985 ), è in accordo con quanto ricavato da Das & Kostrov ( 1987 ) sulla base di analisi sulla stabilità della soluzione.

Un sistema meccanico diffusamente utilizzato in letteratura è quello dello spring slider, costituito da una molla e da un blocco di massa  $m$  ( per unità di area ) che è sottoposto ad un carico esterno  $s_0$  e scorre su una superficie con un attrito  $t$ , il quale tende a contrastare il moto. Tale sistema elastico ad un solo grado di libertà è così schematizzato:



Rappresentazione schematica di un sistema massa – molla ( spring slider ) ad un solo grado di libertà.  $k$  è la costante elastica della molla e  $s_n$  è, come sempre, lo sforzo normale che mantiene il blocco rigido in contatto con la superficie su cui scorre.  $v_0$  è la velocità di carico esterna.

Indicato con  $d$  lo scorrimento, l' equazione del moto del sistema massa – molla risulta:

$$m \frac{d^2}{dt^2} d = s_0 - k d - t$$

Nell' approssimazione quasi – statica ( cioè quando  $(d/dt)^2 d \cong 0$  ) l' equazione dello spring slider diviene:

$$t = s_0 - k d$$

che è analoga a (3.2.5).

**Box 3.1**

Nel caso dello spring slider, invece,  $s_0$  dipende sostanzialmente dalla velocità di carico applicata dall' esterno, ovvero dalla *velocity plate*  $v_0$  :

$$s_0 = s_{0_{iniz}} + k v_0 t$$

ove ora  $k$  è lo stiffness dello spring slider, cioè la costante elastica della molla. Proprio per questa ragione ( cioè che l' analogia è solamente formale ) l' espressione dello stiffness critico ottenuta da Rice & Ruina ( 1983 ) per un sistema ad un solo grado di libertà, espressione discussa in seguito, non è applicabile al problema qui studiato.

L' equazione (3.2.5) è accoppiata con la legge costitutiva di Ruina e viene risolta mediante la separazione del dominio delle velocità di scorrimento  $\mathbf{v}$  in due intervalli:  $\| \mathbf{v} \| \leq v_c$  e  $\| \mathbf{v} \| \geq v_c$ , dove  $v_c$  è una velocità limite, fissata a  $0.1 \text{ mm} / \text{ s}$ , che corrisponde al valore oltre il quale l' attrito nello stato stazionario  $t^{ss}$  diventa indipendente dalla velocità, come sperimentalmente osservato, ad esempio, da Weeks & Tullis ( 1985 ), Okubo & Dieterich ( 1986 ), Rice & Tse ( 1986 ) e Weeks ( 1993 ).

Nel primo caso,  $\| \mathbf{v} \| \leq v_c$ , si risolve il sistema di equazioni nell' approssimazione quasi – statica:

$$\left\{ \begin{array}{l} \frac{d}{dt} u = v_* e^F \\ \frac{d}{dt} q = -\frac{v_*}{L} e^F (q + Bq) \end{array} \right. \quad (3.2.6a)$$

$$\left\{ \begin{array}{l} \frac{d}{dt} u = \frac{v_* \frac{B}{A}}{v_c \frac{B}{A} - 1} e^{F_d} \\ \frac{d}{dt} q = -\frac{v_* \frac{B}{A}}{L v_c \frac{B}{A} - 1} e^{F_d} (q + AF_d) \end{array} \right. \quad (3.2.6b)$$

mentre nel secondo,  $\| \mathbf{v} \| \geq v_c$ , si affronta il problema dinamico:

$$\left\{ \begin{array}{l} \frac{d}{dt} u = \frac{v_* \frac{B}{A}}{v_c \frac{B}{A} - 1} e^{F_d} \\ \frac{d}{dt} q = -\frac{v_* \frac{B}{A}}{L v_c \frac{B}{A} - 1} e^{F_d} (q + AF_d) \end{array} \right. \quad (3.2.7a)$$

$$\left\{ \begin{array}{l} \frac{d}{dt} u = \frac{v_* \frac{B}{A}}{v_c \frac{B}{A} - 1} e^{F_d} \\ \frac{d}{dt} q = -\frac{v_* \frac{B}{A}}{L v_c \frac{B}{A} - 1} e^{F_d} (q + AF_d) \end{array} \right. \quad (3.2.7b)$$



In (3.2.6) e (3.2.7) — risolte numericamente tramite il metodo di Runge – Kutta con il controllo del campionamento temporale ( adaptive stepsize control ), per il quale si rimanda a Press et al. ( 1989 ) ed a Montelli ( 1995 ), sua Appendice C — le quantità  $F$  e  $F_d$  sono parametri che dipendono, oltre che dallo stiffness del sistema ( espresso come in (3.2.1) ), dallo slip e dai parametri costitutivi della legge di Ruina come nel caso dello spring slider 1 – D, anche dal carico dinamico  $L$ . E' importante osservare che nel caso dinamico ( cioè quando  $\| \mathbf{v} \| \geq v_c$  ) si assume che la norma della slip velocity sia superiormente limitata ( tale limite nel codice di calcolo è  $v_m = 10^7 v_c$  ). Questa assunzione discende dalla condizione di collinearità di  $\mathbf{v}$  con la trazione totale  $\mathbf{T}$ , condizione scritta nella forma

$$\frac{v_1}{T_1} = \frac{v_2}{T_2}$$

ovvero più brevemente come:

$$\mathbf{v} = g \mathbf{T} \quad (3.2.8)$$

con  $g \in \mathbb{R}$ . Considerando infatti che risulta:

$$| \mathbf{v} \cdot \mathbf{T} | \leq | v_1 T_1 | + | v_2 T_2 | = | g | ( T_1^2 + T_2^2 ) \stackrel{\text{df}}{=} | g | \| \mathbf{T} \|^2$$

e che da (3.2.8), per  $g \neq 0$ , si ottiene

$$| \mathbf{v} \cdot \mathbf{T} | = \frac{1}{| g |} \| \mathbf{v} \|^2$$

in conclusione si ha:

$$\| \mathbf{v} \|^2 \leq g^2 \| \mathbf{T} \|^2 \quad (3.2.9)$$

Poiché è fisicamente evidente che la trazione totale  $\mathbf{T}$  sia finita, risulta che la velocità di scorrimento è superiormente limitata.

### 3.3. La condizione di Rice sulla minima ampiezza di griglia

Studiando sistemi 2 – D e 3 – D con l' equazione costitutiva di Ruina in approssimazione quasi – statica, Rice ( 1993 ) ha mostrato come la risoluzione del grigliato introdotto per discretizzare il problema abbia un effetto importante sui risultati delle simulazioni numeriche. In particolare, egli ha mostrato come una dimensione di griglia  $h$  inferiore ad un certo valore critico  $h^*$  introduca una complessità artificiale nella soluzione. Questo viene a contraddire l' opinione che tale complessità spazio – temporale fosse una caratteristica generale ed intrinseca della meccanica dei modelli di fagliazione. La quantità  $h^*$ , definita da Rice ( 1993 ) come *minima dimensione di griglia* ( *minima grid size* ), è espressa tramite la relazione:

$$h^* = \frac{2 m L}{p ( B - A )_{max}} \quad (3.3.1)$$

ove, come di consueto,  $m$  è la seconda costante di Lamé,  $L$  è la lunghezza caratteristica della legge di Ruina e  $( B - A )_{max}$  è la combinazione dei parametri costitutivi  $A$  e  $B$  che rende massima la funzione

$$c(B - A) = -v \frac{d}{dv} t^{ss}(v) \quad (3.3.2)$$

sul piano di faglia. In (3.3.2)  $t^{ss}$  è il valore dell' attrito nello stato stazionario corrispondente ad una velocità di scorrimento  $v$ . Come si può vedere dal paragrafo 1.3.6, la funzione  $c$  è monotona crescente rispetto alla variabile  $( B - A )$  sia per la Dieterich originaria, sia per la Dieterich ridotta, che per la legge di Ruina. Dunque il più grande valore di  $( B - A )$  sulla faglia fornisce automaticamente il valore massimo di  $c$ .

La condizione di Rice stabilisce che quando è soddisfatta la relazione

$$h \ll h^* \quad (3.3.3)$$

significa che la griglia è sufficientemente “ fine ” affinché la discretizzazione sia una buona approssimazione delle equazioni continue che vengono risolte

numericamente. Il risultato di Rice, il quale considera una faglia di 240 Km di lunghezza, con  $m = 30 \text{ GPa}$ ,  $(B - A)_{max} = (b - a)_{max} (s_n - p_{poro}) \cong 0.004 \cdot 100 \text{ MPa}$  ed  $L$  variabile da alcuni millimetri a decine di millimetro, è che quando il rapporto  $h / h^*$  è grande rispetto all' unità lo scorrimento che si ottiene dalle varie simulazioni è arricchito da disordine (*complex slip*), mentre una buona scelta, sia per modelli 2 - D che 3 - D, è  $h / h^* < 1$ . Tale affermazione è stata generalizzata al caso dinamico da Rice & Ben - Zion ( 1995 ).

E' possibile dare ad  $h^*$  un' interpretazione in termini di grandezze fisiche direttamente legate al processo di frattura.

Per rafforzare l' analogia tra i terremoti e la modellazione della faglia mediante il sistema massa - molla, Dieterich ( 1978 ) fornisce un' interpretazione della costante elastica  $k$  della molla che costituisce lo spring slider in termini di quantità fisiche legate al processo dinamico di rottura. Egli definisce lo stiffness come il rapporto tra la caduta di sforzo  $Dt$  e lo spostamento  $d$ :

$$k = \frac{Dt}{d}$$

Tale definizione è fisicamente consistente, in quanto in un sistema massa - molla maggiore è la costante elastica, maggiore è lo sforzo rilasciato durante l' instabilità, mentre, a parità di carico, maggiore è  $k$  minore è lo scorrimento del blocco. Dieterich ( 1992 ) ha proposto anche la relazione:

$$k = \frac{mh}{r} \quad (3.3.4)$$

ove  $m$  è la seconda costante di Lamé,  $h$  un fattore che dipende dalla geometria della faglia ed  $r$  la semilunghezza ( o il raggio ) della regione di nucleazione della faglia.

Come verrà meglio illustrato nel successivo capitolo, per uno spring slider ad un solo grado di libertà è possibile definire uno *stiffness critico*  $K_{cr}$  espresso come:

$$K_{cr} = \frac{x s_n}{L} \quad (3.3.5)$$

ove  $x$  è una costante che dipende dai parametri costitutivi della legge adottata.

Combinando (3.3.4) e (3.3.5) Dieterich ( 1992 ) ottiene un' espressione per il raggio critico  $r_c$  della regione di nucleazione al di sotto del quale il moto è stabile:

$$r_c = \frac{mh L}{x S_n} \quad (3.3.6)$$

Più esattamente, se il raggio della regione di nucleazione  $r$  è minore di  $2 r_c$  allora lo scorrimento è stabile, in quanto risulta  $k > K_{cr}$ .

Nel caso della legge di Ruina, in approssimazione quasi – statica, dalla definizione di minima lunghezza di griglia (3.3.1) e dall' espressione di  $r_c$  (3.3.6) si ha:

$$h^* = \frac{r_c}{hp}$$

### 3.4. Parametri in ingresso del codice di calcolo

A differenza degli altri codici numerici visti nel capitolo secondo, ora le discretizzazioni dello spazio e del tempo sono fissate ( $Dx = 1$ ,  $Dt = 1/2$ ). Oltre ai nomi di alcuni dei files di output il programma richiede in ingresso:

NUMERO DI TIME STEPS:

- numero massimo di istanti di tempo con cui viene discretizzato  $t$ ;

PUNTI IN CUI AVERE LE USCITE:

- $t_1, \dots, t_{10}$  : istanti di tempo nei quali vengono scritti su file i valori della velocità di scorrimento nei vari punti del piano di faglia per visualizzarla in tre dimensioni;
- $iult, jvlt$ : coordinate nel piano  $x_1x_2$  in cui si vuole conoscere lo

scorrimento, la slip velocity ed il cambiamento nello stress di taglio al variare del tempo;

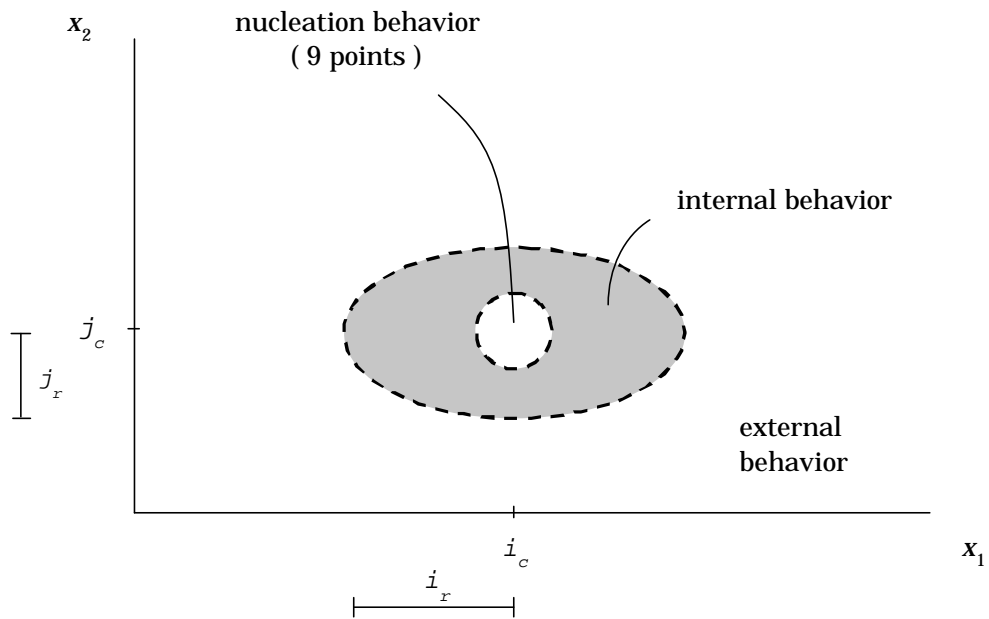
CONDIZIONI INIZIALI ( FISSATE AL PRIMO TIME STEP ):

- $i_c, j_c$  : numeri interi che rappresentano le coordinate in  $x_3 = 0$  del punto di nucleazione ( è predefinito il punto (32,32) );
- $i_r, j_r$  : numeri interi i quali definiscono l' estensione in  $x_1$  ed in  $x_2$  dell' asperità ( vedi seguito ). Sono predefiniti i valori 11, 11;
- valori che definiscono il comportamento nella regione esterna della faglia;
- valori che caratterizzano il comportamento in nove punti del grigliato in  $x_1 x_2$ , centrati rispetto al punto di nucleazione (  $i_c, j_c$  );
- valori che definiscono il comportamento in una regione intermedia tra i nove punti “ di nucleazione ” e la zona esterna. Questa regione intermedia è definita dalle disequazioni:

$$\begin{cases} \left( \frac{i-i_c}{i_r} \right)^2 + \left( \frac{j-j_c}{j_r} \right)^2 \leq 1 \\ (i-i_c)^2 + (j-j_c)^2 > 1 \end{cases}$$

Le tre zone sono schematizzate in fig. 3.1.

Tali valori sono: i tre parametri della legge costitutiva di Ruina  $A, B$  ( in  $bars$  ) ed  $L$  ( in  $mm$  ); lo sforzo di taglio iniziale  $t_{iniz}$  ( in  $bars$  ); il valore ( anch' esso in  $bars$  ) assunto dalla variabile di stato all' istante iniziale; il modulo della velocità iniziale ( in  $mm / s$  ).



**Fig. 3.1.** Rappresentazione schematica delle tre regioni nel piano  $x_3 = 0$  introdotte nel codice di calcolo. In ciascuna di tali zone i parametri costitutivi della legge di Ruina assumono lo stesso valore e pertanto, con una scelta di questo tipo, il fronte di rottura risulta ellittico, oppure circolare nel caso particolare in cui risulti  $i_r = j_r$ .